

КАНАЛИРОВАНИЕ ИОНОВ ГЕЛИЯ В МОНОКРИСТАЛЛАХ $\text{PrBa}_2\text{Cu}_3\text{O}_{7-\delta}$

К.К.Бурдель, В.И.Воронкова, В.В.Мощалков, И.Е.Полищук

А.Ф.Тулинов, Н.Г.Чеченин, В.К.Яновский

Изучена ориентационная зависимость выхода резерфордовского обратного рассеяния

(POP) ионов He^+ на монокристаллах $\text{PrBa}_2\text{Cu}_3\text{O}_{7-\delta}$ в тетрагональной фазе. Обнаружено заметное отличие в полуцирках угловых зависимостей выхода POP и минимальных относительных выходов при канализировании для подрешеток $\text{Pt} + \text{Ba}$ и Cu .

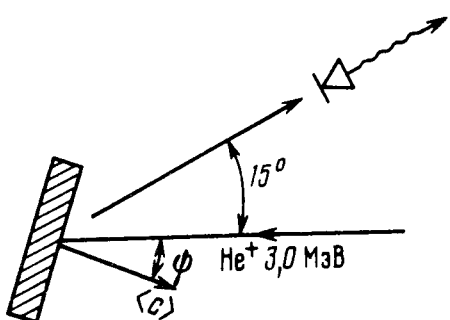
Методика резерфордовского обратного рассеяния (POP) в последнее время широко используется в исследованиях высокотемпературных сверхпроводников (ВТСП). Спектр POP содержит характерные ступеньки, по положению и амплитуде которых можно определить массовое число и концентрацию элементов, образующих изучаемое соединение. Химическое состояние исследуемого вещества не влияет на спектр POP, который "засчитывает" только сами ядра, рассеивающие падающие ионы. Именно поэтому POP является абсолютной методикой определения состава, часто используемой для калибровки эталонов для микрозондового рентгеновского анализа и других относительных методик.

Если плавно менять направление падающего пучка относительно осей кристалла то при совпадении направления пучка с основной кристаллографической осью выход POP резко падает за счет канализирования¹. Исследуя характер канализирования можно получить информацию как о структурных неоднородностях кристалла (дислокациях, двойникования плоскостей и т. д.), так и с динамических свойствах подрешеток различных атомов, формирующих саму кристаллическую структуру.

Чтобы избежать осложнений, связанных с образованием плоскостей двойникования в ромбической фазе ВТСП типа 1–2–3, в настоящей работе для исследования канализирования был выбран совершенный тетрагональный кристалл $\text{PrBa}_2\text{Cu}_3\text{O}_{7-\delta}$, имеющий вид пластинок размером $1,5 \times 1,5 \times 0,3$ мм³ с зеркально гладкими, хорошо развитыми естественными гранями {001} и {100}. Кристаллы были выращены методом кристаллизации из раствора в расплаве в системе $\text{Pr}_2\text{O}_3 - \text{BaO} - \text{CuO}$ ².

Схема эксперимента приведена на рис. 1. Пучок ионов He^+ с энергией 3,0 МэВ от электростатического ускорителя формировался системой диафрагм и попадал на кристалл $\text{PrBa}_2\text{Cu}_3\text{O}_{7-\delta}$, установленный в трехосном гониометре. Диаметр пучка составлял ~ 1 мм, угловая расходимость пучка не превышала $0,02^\circ$. Положение пучка на мишени контроли-

ровалось с помощью коллинеарного лазерного луча. Рассеянные ионы регистрировали полупроводниковым детектором с энергетическим разрешением ~ 13 кэВ. Для избежанияискажений спектра POP при попадании части пучка на подложку, образец крепился на графитовую пластину, спектр POP от которой лежал в низкоэнергетической области и не накладывался на спектр от тяжелых компонентов образца.



$\text{PrBa}_2\text{Cu}_3\text{O}_{7-\delta}$

Рис. 1. Схема эксперимента

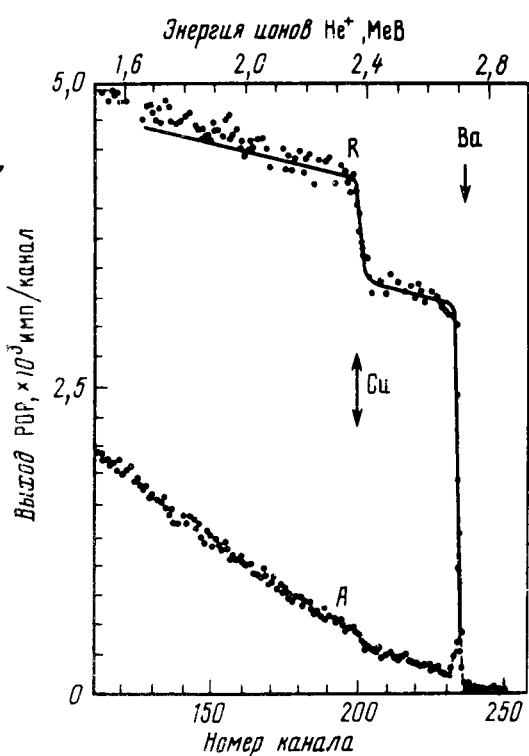


Рис. 2. Спектры POP для кристалла $\text{PrBa}_2\text{Cu}_3\text{O}_{7-\delta}$. Спектр A измерен в режиме осевого (ось (c)) калибрования, а спектр R – при случайном падении анализирующего пучка ионов He^+ с энергией 3.0 МэВ. (Ось (a) направлена под углом $\sim 15^\circ$ к плоскости рисунка). Сплошной линией показан теоретический спектр, рассчитанный в предположении случайного падения пучка

Спектр POP, измеренный при падении пучка на монокристалл в случайном направлении приведен на рис. 2. Стрелками обозначены передние фронты спектра, соответствующие рассеянию на атомах тяжелых компонентов, находящихся на поверхности. Вследствие близости масс $\text{Pr}(140,9)$ и $\text{Ba}(137,3)$ эти элементы в спектре практически не разделяются, образуя одну ступеньку. Ступенька от $\text{Cu}(63,5)$ наблюдается при меньших энергиях. Сплошной линией на рис. 2 изображен моделированный на ЭВМ с помощью программы *SANDV*³ спектр с соотношением тяжелых компонентов $\text{Pr} : \text{Ba} : \text{Cu} = 1 : 2 : 3$. Это соотношение выполнялось для исследованных кристаллов с точностью не хуже 10 %, что подтверждается хорошим совпадением экспериментального и теоретического спектров.

Как только мы переходим от падения пучка на кристалл в случайном направлении (см. спектр R на рис. 2) к падению вдоль кристаллографической оси $\langle c \rangle$, перпендикулярной грани $\{001\}$, то за счет канализации количество частиц, рассеянных назад, резко уменьшается (см. спектр A на рис. 2).

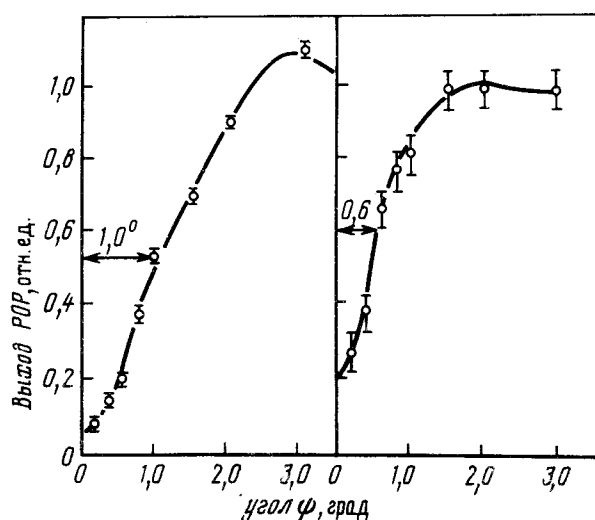


Рис. 3. Ориентационные зависимости выхода POP в приповерхностном слое на глубине $\sim 30 - 50$ нм для подрешетки $\text{Pr} + \text{Ba}$ (а) и подрешетки Cu (б)

Одной из важных характеристик кристалла, определяемых методом канализации, является X_{min} – отношение минимального выхода POP в A -спектре к выходу POP в том же канале R -спектра. Величина X_{min} , измеренная таким образом, составляет 3,5 % по подрешетке $\text{Ba} + \text{Pr}$ (~ 230 канал), что близко к 3,2 % для совершенного кристалла, рассчитываемого в рамках модели ⁴. Это свидетельствует о хорошем качестве кристалла и о его малой мозаичности. С высоком качеством поверхностного слоя и об отсутствии загрязнений свидетельствует характеристика приповерхностного пика (~ 235 канал) в A -спектре, обусловленного рассеянием на поверхностных атомах кристалла. Из площади пика следует, что на 1 см^2 поверхности кристалла приходится около $1,5 \cdot 10^{15}$ смешанных атомов $\text{Pr} + \text{Ba}$, что составляет менее одного монослоя.

Результаты измерений угловой зависимости выхода POP в приповерхностном слое ($30 - 50$ нм) представлены на рис. 3. Как следует из рис. 3а полуширина ориентационной зависимости POP на подрешетке $\text{Pr} + \text{Ba}$ составляет $\psi_{1/2} = 1,0^\circ$.

Путем интерполяции выхода POP на $\text{Pr} + \text{Ba}$ -подрешетке в области наложения спектра POP на Cu можно выделить спектр канализации в Cu -подрешетке. Таким образом получаем, что величина X_{min} (Cu) = 16,0 % для канализации в Cu -подрешетке существенно выше, чем для подрешетки $\text{Pr} + \text{Ba}$. Полуширина угловой зависимости выхода POP на поверхностных атомах Cu $\psi_{1/2}(\text{Cu}) = 0,6^\circ$ заметно меньше аналогичной величины для $\text{Pr} + \text{Ba}$ -подрешетки.

Уменьшение ширины ориентационной зависимости для Cu -подрешетки отмечалось также в работе ⁵ для кристаллов $\text{YBa}_2\text{Cu}_3\text{O}_x$, имеющих ту же структуру, что и $\text{PrBa}_2\text{Cu}_3\text{O}_x$ ⁶. Полученные нами значения полуширины $\psi_{1/2} \approx 1^\circ$ и $\psi_{1/2} \approx 0,6^\circ$, соответственно, для подрешеток $\text{Pr} + \text{Ba}$ и Cu хорошо согласуются с величинами критических углов $\psi_1 = 0,96^\circ$ и $\psi_1 = 0,69^\circ$ оцениваемых по формуле Линдхарда ¹:

$$\psi_1 = (2Z_1 Z_2 e^2 / Ed)^{1/2},$$

где Z_1 – заряд анализирующих ионов, Z_2 – средний ядерный заряд атомной цепочки в подрешетке, E – энергия частицы, d – межатомное расстояние в цепочке.

Более высокое значение X_{min} для POP на Cu-подрешетке по сравнению с X_{min} для Pr + Ba-подрешетки коррелирует со значительной анизотропией тепловых колебаний атомов Cu, в кристалле $\text{PrBa}_2\text{Cu}_3\text{O}_x$, которые в положении Cu-1 имеют амплитуды колебаний в плоскости, перпендикулярной оси $\langle c \rangle$, существенно более высокие, чем вдоль этой оси⁶. Эта особенность не столь ярко выражена для атомов меди в кристалле $\text{YBa}_2\text{Cu}_3\text{O}_x$ ⁶.

Итак, в настоящей работе впервые изучено каналирование на монокристаллах $\text{PrBa}_2\text{Cu}_3\text{O}_{7-\delta}$. Определены угловые зависимости выхода POP раздельно для подрешеток Pr + Ba и Cu. Обнаружено отличие полуширин $\psi_{1/2}$ и относительного выхода в минимуме X_{min} для этих подрешеток, что может быть связано со значительно большей амплитудой тепловых колебаний атомов Cu в плоскости перпендикулярной оси $\langle c \rangle$ в решетке $\text{PrBa}_2\text{Cu}_3\text{O}_{7-\delta}$.

Литература

1. Лихард Й. УФН, 1969, 99, 249.
2. Володарская О.В., Воронкова В.И., Гвоздовер Р.С. и др. В сб. V Всесоюзная конференция по росту кристаллов. Москва, 1988, 390.
3. Воронов В.А., Затекин В.Е., Пожил Г.П. и др. Комплект программ обработки спектров обратного рассеяния. В сборнике: Тез. докл. Всесоюзного семинара по автоматизации исследования в ядерной физике и смежных областях. 1988, Ташкент, изд. ФАН, с.144.
4. Barrett J.H. Phys. Rev. B, 1971, 3, 1527.
5. Stoffel N.G., Morris P.A., Bonner W.A., Wilkens B.J. Phys. Rev. B, 1988, 37, 2297.
6. Klamut J., Glowlik T., Henkle Z. et al. Acta Phys. Polon., 1988, A78, 759.

Научно-исследовательский институт ядерной физики
Московский государственный университет им. М.В.Ломоносова

Поступила в редакцию
27 января 1989 г.